

文章编号: 1006-9941(2010)01-0019-05

纳米固体酸的制备及 2,4,N-三硝基苯胺基乙酸的合成

奚立民, 张昕欣

(台州职业技术学院生物与化学工程系, 浙江 台州 318000)

摘要:采用溶胶-凝胶法制备了新型的纳米固体超强酸催化剂 $\text{TiO}_2/\text{SO}_4^{2-}$, 并用酸碱滴定、XRD、TEM 进行了表征。结果表明, 所研制的 $\text{TiO}_2/\text{SO}_4^{2-}$ 催化剂为晶态纳米粒子, 分散性较好, 平均粒径为 27 nm。以纳米固体酸 $\text{TiO}_2/\text{SO}_4^{2-}$ 为催化剂, 氯苯和氨基乙酸为原料直接合成了 2,4,N-三硝基苯胺基乙酸(TNAA), 收率为 71.6%。最宜工艺条件: 氯苯为 0.2 mol, 催化剂为 0.7 g, 氨基乙酸为 0.07 mol, 硝酸为 0.08 mol, 反应温度为 45 ℃, 反应时间为 3 h。催化剂焙烧温度 600 ℃, 催化剂重复使用 8 次仍保持较高活性。

关键词: 有机化学; 纳米固体超强酸; 2,4,N-三硝基苯胺基乙酸; 催化; 硝化

中图分类号: TJ55

文献标识码: A

DOI: 10.3969/j.issn.1006-9941.2010.01.006

1 引言

2,4,N-三硝基苯胺基乙酸铅(TNAA-Pb)是一种高能量、高钝感的含能弹道改良剂^[1], 姬月萍^[2]等以2,4-二硝基氯苯、氨基乙酸为原料, 经过缩合、硝化、成盐三步反应成功合成了 TNAA-Pb, 但工艺步骤多、总收率低(65%), 且设备腐蚀严重, 排放含酸废水污染环境。近年来, 作为芳烃选择性氯化^[3]和硝化^[4-5]的固体酸催化剂不断被开发, 与传统的混酸硝化工艺相比, 既可提高催化活性和选择性^[6-7], 又可消除污染, 并且该催化剂再生后能重复使用, 具有环保和经济双重意义^[8-9]。

近年研发的基本粒度小, 比表面积大的 $\text{M}_x\text{O}_y/\text{SO}_4^{2-}$ 型纳米固体超强酸是极具应用前景的绿色催化剂^[10-12], 其结构已用 XRD、TEM、FTIR、BET、TEM、DSG/TG 和 *in situ* ^{13}C MAS NMR 等多种分析手段进行了表征^[13-15], 在利用该类催化剂强酸度和高活性来提高烷基化、异构化、酰化、缩合、聚合、氧化及其酯化等反应收率方面已有许多报道^[16-17]。但是用作同步硝化氯苯和氨基乙酸直接合成 2,4,N-三硝基苯胺基乙酸(TNAA)的催化剂却未见报道。为此, 本研究采用溶胶-凝胶法制备了纳米固体酸 $\text{TiO}_2/\text{SO}_4^{2-}$, 固体酸结构用 XRD、TEM 进行了表征。同时以制得的

纳米固体酸 $\text{TiO}_2/\text{SO}_4^{2-}$ 作催化剂, 氯苯和氨基乙酸为原料直接合成了 TNAA-Pb 的前驱体 TNAA, 并考察了 $\text{TiO}_2/\text{SO}_4^{2-}$ 在合成 TNAA 中的催化性能。

2 合成实验

2.1 仪器与试剂

SP-6800A 型气相色谱仪(FID 检测器、OV-17 不锈钢色谱柱); SX2 型马弗炉; DZF-6050 型恒温真空干燥箱; 日本理学 D/MAX-RB 型 X 射线衍射仪, $\text{Cu K}_\alpha\lambda=0.154 \text{ nm}$; 日本电子 TEM-2000EX 型透射电子显微镜; 北京分析仪器厂 ST-03 型比表面测定仪。

氯苯、氨基乙酸、正丁醇、硫酸、氨水、二氧化钛、乙二醇为 AR, 上海试剂公司。

2.2 固体超强酸 $\text{TiO}_2/\text{SO}_4^{2-}$ 和氧化物 TiO_2 的合成

称取 20 g TiO_2 与一定量的乙二醇混合, 调成均匀的糊状后, 边剧烈搅拌, 边慢慢滴入 10% 氨水溶液, 至溶液的 pH 为 9 左右后, 陈化 6 h, 制得 $\text{Ti}(\text{OH})_2$ 水溶胶。然后把溶胶溶于 10 倍的正丁醇中进行共沸蒸馏, 蒸出胶体内的水分子。直至体系的温度升高到正丁醇的沸点 117 ℃, 使胶内的水分被完全脱除, 继续在该温度下回流 15 h, 停止加热, 蒸干, 干燥后分成两部分, 一部分用 0.5 mol · L⁻¹ 的 H_2SO_4 溶液按 15 mL · g⁻¹ 的比例浸渍 45 min, 过滤, 红外灯下烘干后研细, 与另一部分一起(分装)放入马弗炉焙烧 4 h, 制成固体超强酸 $\text{TiO}_2/\text{SO}_4^{2-}$ 和氧化物 TiO_2 , 最后均放入干燥器中保存^[18]。

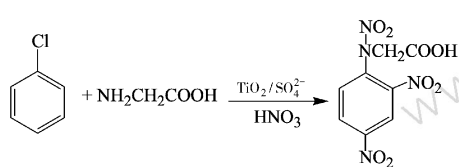
收稿日期: 2009-04-06; 修回日期: 2009-07-23

基金项目: 浙江省科技计划重大项目(2006C11026)

作者简介: 奚立民(1957-), 男, 教授, 主要从事有机催化的研究与教学。e-mail: xilm@tzvtc.com

2.3 TNAA 合成

在装有搅拌器、温度计、回流分水冷凝管和电加热套控温的 250 mL 三口烧瓶中, 按一定比例加入氯苯、氨基乙酸、适量 $\text{TiO}_2/\text{SO}_4^{2-}$ 及溶剂。加热回流分水, 边搅拌边慢慢滴加发烟硝酸, 滴加完毕, 保温一定时间待反应结束, 凑热过滤分离出催化剂固体。然后将滤液倒入水中并于 20 ℃下维持 25 min, 冷却, 用分液漏斗分离, 上层水溶液主要为未反应的硝酸、氨基乙酸, 下层油状物主要为产物及少量的副产物。将下层油状物用乙腈两次重结晶, 干燥后得产物 TNAA。反应式如下:



3 分析表征

3.1 酸强度测定

催化剂酸强度用 Hammett 指示剂 2,4-二硝基甲苯 ($\text{H}\sigma = -13.75$)、2,4-二硝基氟苯 ($\text{H}\sigma = -14.52$) 的变色反应测定, 测试结果表明: 该催化剂能使 2,4-二硝基甲苯指示剂显著变色, 使 2,4-二硝基氟苯稍有变色, 所以, 该催化剂的酸强度 $\text{H}\sigma < -13.75$, 属于固体超强酸。

3.2 X 衍射分析

对所制得的纳米固体超强酸 $\text{TiO}_2/\text{SO}_4^{2-}$ 和纳米 TiO_2 样品进行 X 衍射分析, 结果如图 1 所示。

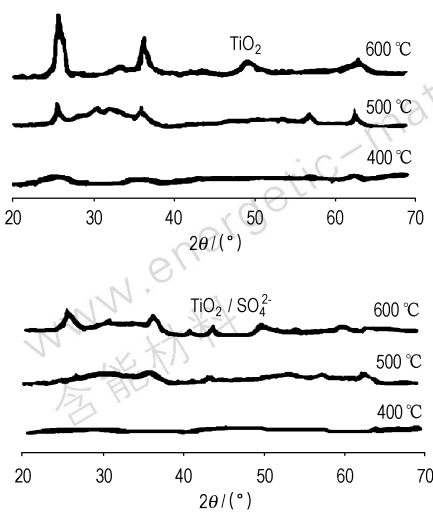


图 1 TiO_2 和 $\text{TiO}_2/\text{SO}_4^{2-}$ 的 X 衍射图谱

Fig. 1 XRD spectra of TiO_2 and $\text{TiO}_2/\text{SO}_4^{2-}$

3.3 透射电镜分析

图 2 是纳米固体超强酸 $\text{TiO}_2/\text{SO}_4^{2-}$ 和纳米 TiO_2 样品在透射电镜显微下的 TEM 照片。

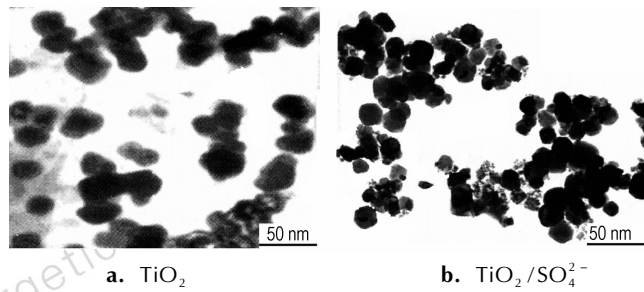


图 2 TiO_2 和 $\text{TiO}_2/\text{SO}_4^{2-}$ 的透射电镜图

Fig. 2 TEM of TiO_2 and $\text{TiO}_2/\text{SO}_4^{2-}$

3.4 比表面积和粒径分析

固体超强酸 $\text{TiO}_2/\text{SO}_4^{2-}$ 和纳米 TiO_2 样品的比表面积在比表面积-孔径分布仪上测定, 200 ℃真空脱气预处理, 采用 H_2 为载气、 N_2 为吸附质的双气路法, 在液氮温度下, 使用 BET 方法计算比表面积。由 BET 计算法和 TEM 统计法得到 TiO_2 的比表面积为 $76 \text{ m}^2 \cdot \text{g}^{-1}$, 平均粒径为 36 nm, $\text{TiO}_2/\text{SO}_4^{2-}$ 的比表面积为 $139 \text{ m}^2 \cdot \text{g}^{-1}$, 平均粒径为 27 nm。

3.5 酸中心数测定

在不同温度下焙烧 4 h, 通过 NaOH 滴定测定催化剂样品 $\text{TiO}_2/\text{SO}_4^{2-}$ 的酸中心数^[19], 结果列于表 1。

表 1 不同焙烧温度下 $\text{TiO}_2/\text{SO}_4^{2-}$ 催化剂样品的酸中心数

Table 1 Numbers of acid sites of $\text{TiO}_2/\text{SO}_4^{2-}$ samples under different calcination temperatures

calcination temperature / °C	400	450	500	550	600	650	700	750
number of acid sites / mmol · g ⁻¹	1.671	2.248	2.924	3.452	3.810	3.540	2.802	2.003

3.6 产物检验

产物以 TNAA 作内标物用 SP-6800A 气相色谱仪 (FID 检测器、OV-17 不锈钢色谱柱) 分析。根据分析结果计算 TNAA 的收率。合成的 TNAA 为淡黄色固体, m. p. 为 160 ℃, 与文献[2]中 161 ℃基本相符; 用 Nicolet 5 MX 型傅里叶红外光谱仪 (KBr 压片) 对产物 TNAA 进行了红外光谱分析, 具有下列主要吸收峰 (cm^{-1}): 3200 ~ 2600 (宽峰) (ν_{OH}); 3106, 3040 ($\nu_{\text{C-H}}$); 637 ($\nu_{\text{as N-NO}_2}$); 1281 ($\nu_{\text{s N-NO}_2}$); 1552

($\nu_{as\ C-NO_2}$) ; 1351 ($\nu_{s\ C-NO_2}$) ; 1713 ($\nu_{C=O}$) ; 2925 ($\nu_{as\ CH_2}$) ; 853 ($\nu_{s\ CH_2}$) ; 1468 (δ_{CH_2}) ; 1325 (ν_{C-N}) ; 836,748 (γ_{C-H}) (苯环 1,2,4 三取代)。元素分析 (%) , $C_8H_6O_8N_4$ 实验值(计算值): C 33.63(33.58), H 2.09(2.11), N 19.55(19.58)。

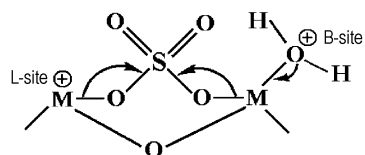
3.7 副产物分析

以未经重结晶, 干燥的油状物为试样, 采用气相色谱法对试液中副产物成分进行检测, 测得试液中含 2,4-二硝基氯苯 $7.8 \times 10^{-4} \text{ mol} \cdot \text{L}^{-1}$, 含 2,4,6,N-四硝基苯胺基乙酸 $1.7 \times 10^{-5} \text{ mol} \cdot \text{L}^{-1}$, 其它副产物未检出。

4 结果与讨论

4.1 催化活性与酸结构

于世涛^[20]等通过 X 射线光电子能谱和红外光谱对 M_xO_y/SO_4^{2-} 型固体酸进行研究, 发现 Zr、Ti、Sn、Fe 等氧化物 M_xO_y 表面的 SO_4^{2-} 与金属 M 形成如下结构的活性中心:



由于配位硫酸根离子的诱导作用, 与 SO_4^{2-} 中氧结合的金属离子的静电场增大, 因而产生 Lewis 酸位和 Bronsted 酸位。依靠水分子的吸附和解吸作用, L 酸位和 B 酸位之间可发生相互转换。

在 TiO_2/SO_4^{2-} 完成催化硝化反应后, 进行加水处理, 并在 600 °C 下焙烧 4 h, 发现催化活性增加。结合酸碱滴定分析可以判断: TiO_2/SO_4^{2-} 催化活性主要决定于催化剂表面的质子酸中心数。

4.2 催化剂的结构

从图 1 可见, 经 400 °C 以下焙烧的 TiO_2 为无定形状态, 500 °C 时出现锐钛型 TiO_2 晶相, 焙烧温度继续升高, 晶化过程逐渐趋于完善; 浸渍 H_2SO_4 后, TiO_2/SO_4^{2-} 的晶化进一步推迟, 经 500 °C 焙烧的 TiO_2 晶相开始出现, 但不明显, 仍以无定形状态为主, 说明 SO_4^{2-} 的存在不仅抑制 TiO_2 晶粒的生长, 使粒度更加细化, 比表面积大幅度增大, 而且还对晶化过程有一定的导向作用。当温度升至 600 °C 时 TiO_2/SO_4^{2-} 的晶化开始明显, 该温度下的 TiO_2/SO_4^{2-} 酸强度最强。

由图 2 统计的 TiO_2 和 TiO_2/SO_4^{2-} 的平均粒径, 分别为 36 nm 和 27 nm, 均属于纳米材料, 但 SO_4^{2-} 的

引入使颗粒更加细化, 在透射电镜实验中得到了进一步的证实。图 2 还可看出 TiO_2/SO_4^{2-} 颗粒的二次团聚性要比 TiO_2 颗粒小, 分散性也更好, 因此 TiO_2/SO_4^{2-} 颗粒的比表面积要比 TiO_2 颗粒的比表面积大得多, 这与 $TiO_2/TiO_2/SO_4^{2-}$ 的比表面积分别为 $76, 139 \text{ m}^2 \cdot \text{g}^{-1}$ 的测定结果相一致。

4.3 催化剂的性能

4.3.1 工艺条件对催化性能的影响

首先固定氯苯用量为 0.2 mol, 选用 $L_{16}(4^5)$ 正交表进行试验, 考察氨基乙酸用量、硝酸用量、催化剂用量、反应温度、反应时间 5 个因素对 TNAA 收率的影响, 然后从催化性能、生产能力、原料成本、能源利用等方面考虑各个因素对产物收率的综合影响, 并通过进一步单因素实验, 得到最宜的工艺条件: 当固定氯苯用量为 0.2 mol, 催化剂为 0.7 g, 氨基乙酸为 0.07 mol, 硝酸为 0.08 mol, 在 45 °C 下反应 3 h 时, TiO_2/SO_4^{2-} 催化氯苯与氨基乙酸反应合成 TNAA 的收率达到 71.6%。

4.3.2 催化剂再生对性能的影响

在最宜工艺条件下, 经 600 °C 焙烧的催化剂第一次使用时, TNAA 的收率为 71.6%。然后将催化剂在 600 °C 重烧 4 h 再生后重复使用, 产物收率随再生次数的变化情况见表 2。

表 2 催化剂再生次数对产物收率的影响

Table 2 Effect of regeneration frequency of catalyst on the yield of TNAA

regeneration times	0	1	2	3	4	5	6	7	8
yield/%	71.6	71.4	71.1	70.9	70.6	70.3	69.9	69.6	69.3

由表 2 可知, 在第八次时收率为 69.3%, 总下降率仅为 3.2%。可见, 催化剂的重复使用性能较好。

4.3.3 焙烧温度对催化剂性能的影响

在最宜工艺条件下, 考察不同温度焙烧催化剂对硝化反应的影响, 结果见图 3。

图 3 结果表明, 焙烧温度对收率产生显著影响, 这与 TiO_2/SO_4^{2-} 体系在焙烧温度升高过程中样品的活性酸中心变化有关。可能是由于高温焙烧有利于纳米催化剂中的 SO_4^{2-} 与金属离子发生相互作用产生酸中心; 另外当焙烧温度过高时, 导致活性组分烧结, 酸中心数降低。因此, 在 600 °C 焙烧 4 h 的催化剂活性最好, 过高或过低都不利于催化剂表面活性结构的形成。

本催化剂的合适焙烧温度是 600 ℃, 该结论与表 2 测得的不同焙烧温度下催化剂样品的酸中心数的结果完全一致。

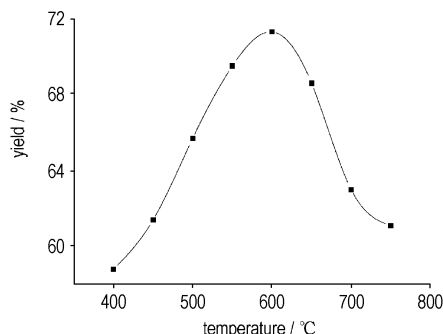


图 3 焙烧温度对催化性能的影响

Fig. 3 Effect of calcination temperature on the performance of the catalyst

5 结 论

采用溶胶-凝胶法制得的固体酸为不完整的晶态纳米粒子, 平均粒径为 27 nm, 分散性好, 具有较高的比表面积和固体超强酸的性质, 可作为合成 TNAA 的良好催化剂, 催化剂在 600 ℃下焙烧 4 h, 重复使用 8 次仍保持较高活性。通过试验得到在 $\text{TiO}_2/\text{SO}_4^{2-}$ 催化下合成 TNAA 的最佳工艺条件, 在最佳工艺条件下 TNAA 的收率可达到 71.6%, 而且副反应少。制得的 TNAA 中加入硝酸铅, 即可得到高钝感的含能弹道改良剂 TNAA-Pb。

参考文献:

- [1] Soman R R,Mukundan T,Bbat V K,et al. Lead salt of 2,4,N-trinitroanilinoacetic acid: An energetic ballistic modifier for double base propellants[J]. *Journal of Energetic Materials*,2000,(18): 163–175.
- [2] 姬月萍, 兰英, 李普瑞, 等. 2,4,N-三硝基苯胺基醋酸铅的合成[J]. 含能材料, 2004(增刊): 63–65.
- [3] JI Yue-ping, LAN Ying, LI Pu-ru, et al. The synthesis of 2,4,N-trinitroanilinoacetic acid [J]. *Chinese Journal of Energetic Materials (Hanneng Cailiao)*, 2004(Supplement): 63–65.
- [4] Singh A P,Kumar S B,Paul A,et al. Selective para-chlorination of toluene using zeolite catalysts[J]. *J Catal*,1994,147: 360–363.
- [5] 程广斌, 侍春明, 彭新化, 等. 钼磷酸催化下甲苯的选择性硝化[J]. 含能材料, 2004,12(2): 110–112.
- CHENG Guang-bin, SHI Chun-ming, PENG Xin-hua, et al. Selective nitration of toluene with nitric acid in the presence of phosphomolybdic acid catalysts [J]. *Chinese Journal of Energetic Materials (Hanneng Cailiao)*, 2004,12(2): 110–112.
- [6] Germain A,Akouz T,Figueras F. Vapour-phase aromatic nitration with dinitrogen tetroxide over solid acids[J]. *J Catal*,1994,147: 163–170.
- [7] Long R Q,Yang R T. Selective catalytic reduction of nitrogen oxides by ammonia over Fe^{3+} -pillared clay catalysts[J]. *J Catal*, 1999,186: 254–268.
- [8] Corndis A,Delaude L, Gerstmans A, et al. A procedure for quantitative nitration of aromatic hydrocarbons in the laboratory [J]. *Tetrahedron Lett*,1988,29 (46): 5909–5912.
- [9] Nivedita S Chaubal, Manohar R Sawant. Synergistic role of aluminum in stabilization of mixed metals oxide catalyst for the nitration of aromatic compounds[J]. *Catalysis Communications*, 2006,7 : 443–449.
- [10] Sohn J R,Seo D H. Preparation of new solid superacid catalyst, zirconium sulfate supported on γ -alumina and activity for acid catalysis[J]. *Catalysis Today*,2003,87(4): 219–226.
- [11] Yang H,Lu R,Zhao J Z,et al. Sulfated binary oxide solid superacids [J]. *Materials Chemistry and Physics*,2003,80: 68–72.
- [12] Yadav G D,Thathagar M B. Esterification of maleic acid with ethanol over cation exchange resincatalysts [J]. *Reactive & Functional Polymers*,2002,52: 99–110.
- [13] 樊国栋, 沈茂, 张昭, 等. 纳米固体超强酸 $\text{S}_2\text{O}_8^{2-}/\text{ZrO}_2\text{-CeO}_2$ 催化剂的结构与性能表征[J]. 中国稀土学报, 2008,26(5): 525–529.
- FAN Guo-dong, SHEN Mao, ZHANG Zhao, et al. Characterization and activity $\text{S}_2\text{O}_8^{2-}/\text{ZrO}_2\text{-CeO}_2$ solid superacid catalyst[J]. *Journal of the Chinese Rare Earth Society*,2008,26(5): 525–529.
- [14] 张明俊, 沈俊, 田从学, 等. 介孔 $\text{SO}_4^{2-}/\text{TiO}_2$ 固体超强酸的制备与表征[J]. 功能材料, 2006,37(12): 1955–1958.
- ZHANG Ming-jun, SHEN Jun, TIAN Cong-xue, et al. Preparation and characterization of mesoporous solid surperacid $\text{SO}_4^{2-}/\text{TiO}_2$ [J]. *Journal of Functional Materials*,2006,37(12): 1955–1958.
- [15] 马卓娜, 胡军成, 范康年, 等. 表征固体超强酸的新方法: 正丁烷异构化反应的原位 ^{13}C MAS NMR 谱[J]. 化学学报, 2003,61(9): 1352–1356.
- MA Zhuo-na, HU Jun-cheng, FAN Kang-nian. A new method for characterization of solid superacidity: In situ ^{13}C MAS NMR study of butane isomerization on catalysts[J]. *Acta Chimica Sinica*,2003,61(9): 1352–1356.
- [16] 熊国宣, 范从斌, 许文苑, 等. 纳米固体超强酸 $\text{SO}_4^{2-}/\text{Fe}_3\text{O}_3$ 的催化性能[J]. 化工学报, 2005,56(5): 875–878.
- XIONG Guo-xuan, FAN Cong-bin, XU Wen-yuan, et al. Catalytic performance of $\text{SO}_4^{2-}/\text{Fe}_3\text{O}_3$ nanosolid superacid[J]. *Journal of Chemical Industry and Engineering*,2005,56(5): 875–878.
- [17] 戚瑞瑞, 奚洪民, 张荣昌, 等. 纳米固体超强酸 $\text{SO}_4^{2-}/\text{ZrO}_2\text{-SiO}_2$ 的研究[J]. 分子科学学报, 2004,20(1): 16–22.
- ZHAN Rui-rui, XI Hong-min, ZHANG Rong-chang, et al. Studies on $\text{SO}_4^{2-}/\text{ZrO}_2\text{-SiO}_2$ nanosolid superacid systems [J]. *Journal of Molecular Science*,2004,20(1): 16–22.
- [18] 林德娟, 沈水发, 潘海波, 等. 纳米复合固体超强酸 $\text{SO}_4^{2-}/\text{CoFe}_2\text{O}_4$ 的制备和表征[J]. 无机化学学报, 2000,16(5): 757–762.
- LIN De-juan, SHEN Shui-fa, PAN Hai-bo, et al. Preparation and characterization of nano solid superacid $\text{SO}_4^{2-}/\text{CoFe}_2\text{O}_4$ [J]. *Chinese Journal of Inorganic Chemistry*,2000,16(5): 757–762.
- [19] Clark J H,Elings S,Wilson K. Catalysis for green chemistry: Ultra-high loaded mesoporous solid acids [J]. *Surface Chemistry and Catalysis*,2000,3 (6): 399–404.
- [20] YU Shi-tao, SONG Zhan-qian. The development of solid superacids [J]. *Science & Technology in Chemical Industry*,2000,8(4): 60–64.

Preparation of Nanosolid Superacid and Synthesis of 2,4,N-Trinitroanilinoacetic Acid Directly

XI Li-min, ZHANG Xin-xin

(Departement of Biological and Chemical Engineering, Taizhou Technical College, Taizhou 318000, China)

Abstract: The new nanosolid superacid catalyst TiO_2/SO_4^{2-} was prepared by sol-gel method, and samples were characterized by acid base titration, XRD and TEM. Results show that the superfine solid TiO_2/SO_4^{2-} is nanocrystal with good dispersibility and its average size is 27 nm. With the catalyst TiO_2/SO_4^{2-} , 2,4,N-trinitroanilinoacetic acid(TNAA) was synthesized from chlorobenzene and glycine with yield of 71.6%. The optimum conditions are 0.2 mol chlorobenzene, and 0.7 g catalyst, and 0.07 mol glycine, and 0.08 mol nitric acid, and reaction time of 3 hours, and reaction temperature of 45 °C. When calcined at 600 °C, the activity of regeneration catalyst is restored mostly after regenerated eight times.

Key words: organic chemistry; nanosolid superacid; 2,4,N-trinitroanilinoacetic acid; catalysis; nitration

CLC number: TJ55

Document code: A

DOI: 10.3969/j.issn.1006-9941.2010.01.006

※ 读者·作者·编者 ※

欢迎
订阅

含能材料

ISSN 1006-9941
CN 51-1489/TK

《含能材料》1993 年创刊,1996 年国内外公开发行。该期刊由中国工程物理研究院主办,中国工程物理研究院化工材料研究所承办,四川省科学技术协会主管,国内外公开发行,主要报道国内外火炸药、推进剂、烟火剂、火工药剂、武器弹药设计及相关材料的研制、工艺技术、性能测试、爆炸技术及其应用、含能材料的库存可靠性、工业废水处理、环境保护等方面的最新成果,促进含能材料学科领域的科技进步。

目前《含能材料》是武器工业类中文核心期刊、中国科技论文统计源刊(中国科技核心期刊)、中国科学引文数据库来源刊、中国学术期刊综合评价数据库源刊、中国学术期刊<光盘版>源刊、《中国知网》源刊、万方数据库源刊、中文科技期刊数据库源刊、中国化学文献数据库源刊,同时还被《美国化学文摘(CA)》、《俄罗斯文摘杂志(AJ)》、《美国剑桥科学文摘(CSA)》、《Elsevier SCOPUS》、《中国学术期刊文摘》、《中国导弹与航天文摘》及《兵工文摘》等刊物收录。

本刊为双月刊,每双月末出版,已向国内外公开发行,邮发代号:62-31。2010 本刊单价20 元,全年订价120 元。凡未赶上邮局订阅者,可向编辑部邮购。2010 年(第 18 卷)第 1~6 期,邮购价 140 元/年;另有少量过刊合订本供应。

通讯地址:四川省绵阳市 919 信箱 310 分箱,621900

电话:0816-2485362 传真:0816-2495856 e-mail: HNCL01@caep.ac.cn

www.energetic-materials.org.cn; 含能材料.cn; 通用网址: 含能材料

欢迎订阅、赐稿及刊登广告!